

内部資料

# 第二軍醫大學 學術資料匯編

第十八集（普通外科學研究專輯）

1963·11

## 學術資料匯編第十八集目錄

正常人肝內解剖的觀察 ······	吳孟超等 (1)
肝叶切除术后代謝改变的動物實驗與臨床觀察 ······	吳孟超等 (13)
原發性肝癌臨床診斷及外科治療的探討 ······	吳孟超等 (21)
規則性肝葉切除術的操作体会 ······	吳孟超等 (25)
肝動脈插管注射抗癌藥物治療晚期肝癌 ······	吳孟超等 (29)
肝葉切除治療肝海綿狀血管瘤(附四例報告) ······	胡宏楷等 (33)
外傷性肝破裂的治療 ······	蕭奕成等 (36)
腹腔手術後粘連的實驗性研究 (I. 發生粘連原因的探討) ······	徐化民等 (39)
右旋糖酐預防腸粘連的實驗研究 ······	顧毓芝等 (45)
小劑量冬眠藥物治療絞窄性腸梗阻所致中毒性休克的實驗觀察 ······	鄭寶琦等 (47)
术前未經準備的結腸施行部分切除一期吻合的實驗研究 ······	孫繼恩等 (51)
用腸內外固定法治療复发性粘連性腸梗阻 ······	鄭寶琦等 (56)
絞窄性腸梗阻所致中毒性休克的治療 ······	高 潤等 (60)
腸梗阻手術中的腸腔減壓(介紹一種快速無菌減壓管) ······	喻德洪等 (63)
胃十二指腸潰瘍急性穿孔治療近期療效 ······	殷繼曾等 (66)
胃十二指腸潰瘍急性大出血的處理 ······	徐學俊等 (69)
胃大部切除治療潰瘍病的術后近期併發症探討 ······	孫繼恩等 (72)
創傷性腹主動脈瘤切除人造血管移植術一例報告 ······	鄭寶琦等 (75)

# 正常人肝内解剖的观察

吳孟超\* 胡宏楷\* 張曉華\* 毛增榮\*\*

我們自 1959 年以来对肝内解剖进行了系统地研究，今就 108 个我国正常人的新鲜肝脏腐蚀标本（成人 100 个，儿童 8 个）的观察结果，总结如下。

## 研究方法

将新鲜肝脏的门静脉、肝动脉和胆管细心剖离至二级分支，以便观察它们在肝门的位置关系，然后将下腔静脉或肝静脉分离出来，观察肝静脉进入下腔静脉的结构形式。再以不同浓度和不同颜色的碘钨络丙酮溶液注入这些管道内，待溶液干硬后，以浓盐酸腐蚀 3—5 天，后以水轻轻冲去肝组织，留下肝内管道用来观察。在 108 个肝脏中，同时注射门静脉和肝静脉者 35 例，单独注射肝静脉者 2 例，单独注射门静脉者 72 例，其中有 29 例同时注射了肝管，10 例还同时注射了肝动脉。

## 观察结果

**一、肝裂的观察：**从 108 个腐蚀标本中观察到肝脏有三个主裂、二个段间裂和一个背裂，它们将肝脏分成五个叶和六个段（图 1）。

(一) 正中裂：用不同颜色的碘钨络丙酮溶液注入左、右门静脉支，在标本上可以清楚显出正中裂的位置。此裂起自胆囊窝（或胆囊切迹）向后上方抵于下腔静脉的左壁，但在本组标本中，此裂起自胆囊窝左侧占 61.3%，在胆囊窝中点占 30.2%，偏向其右侧占 8.5%。此裂多呈一直线（图 2），但也可呈不规则的曲线（图 3）。它的平面与肝门平面成 60°—80° 角，角的开口向左，最小为 45°，最大可达

125°。在裂中有中肝静脉经过。此裂将肝脏分成左、右二半，右半要比左半大些。一般情况下，此裂也将尾状叶分成左、右二半，但有少数标本此裂并不完全通过尾状叶的中央，而是将尾状叶与尾状突分开，即除尾状突外，尾状叶全部属于左半肝。

(二) 左叶间裂（图 1,2）：此裂起自脾切迹向后上方抵于左肝静脉入下腔静脉处，肠面以钩状韧带为界，但稍偏向左侧，脏面则以左纵沟为标记。此裂多呈直线，在裂内有左肝静脉的叶间支经过，它将左半肝分成左外叶与左内叶。

(三) 右叶间裂：此裂起自右肝静脉入下腔静脉处，斜向右前方再弯向肝的右下缘，位于正中裂右侧约距右肝缘  $\frac{1}{3}$  处。此裂多呈弓形（图 1），但也有少数呈直线形（图 2）。它将右半肝分成右后叶与右前叶。它的平面与水平面交成 30°—50° 角，角的开口向右侧。因此，右后叶显得脏面小而肠面大。在裂内有右肝静脉经过。

(四) 左段间裂（图 1）：此裂位于左外叶内，它起自左肝静脉入下腔静脉处，与左叶间裂交成锐角，然后斜行方向抵于肝左缘的上中  $\frac{1}{3}$  处。此裂将左外叶划分成上、下二段，在裂内有左肝静脉的段间支经过。

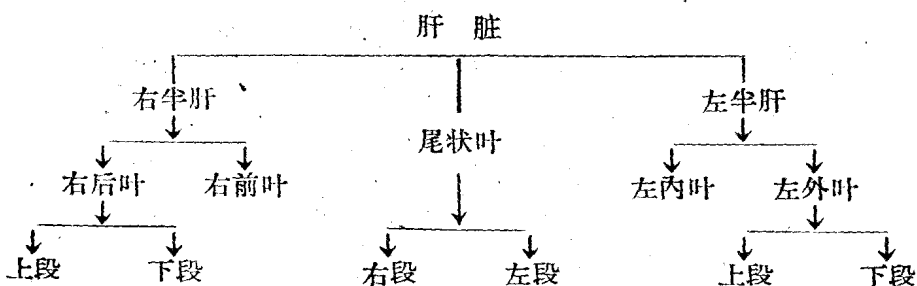
(五) 右段间裂（图 1）：此裂位于右后叶内，它将右后叶分成上、下二段。它在肝的脏面起于肝门的右切迹，横过右后叶抵于右后叶外侧中点的前后。

(六) 背裂：位于肝静脉进入下腔静脉处，在肝脏的膈面后方形成一弧形线，它将尾状叶和其他肝叶隔开。

根据肝裂的观察，肝脏可分成五个叶六个段（图 4），其叶与段的分法如下。

\* 第二军医大学第一附属医院外科

\*\* 第二军医大学解剖学教研室



**二、門靜脈的分支** (图5): 門靜脈位于橫沟底部，在其前方有胆总管和肝动脉。門靜脈主干至肝門處立即分成左、右二支者占82%，而立即分成三支者占18%，后者是由于缺乏右門靜脈干，而右前葉門靜脈支也是直接從門靜脈主干分出。

(一) 門靜脈左支(图5): 門靜脈左支自門靜脈主干分出后沿肝門斜沟走向左侧，抵左縱沟后弯向前上方进入肝組織內。左門靜脈干共分四部，整个左半肝和尾狀葉左段的門靜脈血管均由这四部发出，有时甚至右前葉門靜脈也来自左干(有9例)。

第一部为橫部：位于肝門橫沟內。在100个成人标本中此部长2—4厘米者占93%，4—5厘米占6%，6厘米仅1%。从橫部上緣发出1—3根小支(有时是4—5支，但总有一支比較粗些)至尾狀葉左段，称尾狀葉左段支；但有半数标本尾狀葉左段支較大，供应整个尾狀葉，此时右門靜脈干分出的支則很小，仅供应尾狀突。有23.5%的标本在橫部的前下緣发出1—3个小支分佈于左內葉。另有9个标本(8.5%)的右前葉門靜脈起自橫部的前下緣。

第二部为角部：是橫部达左縱沟后弯向前上方轉为矢狀部之处，相交的角度一般为90°—130°。从角部的凸側发出一支大的門靜脈走向左后上方，呈扇形分佈于左外葉上段区，称左外葉上段支。有的标本除了一支較大外，还有1—2支小的門靜脈支到左外葉上段的后上緣，称左后上緣支。有的标本还从角的凹側发出1—2支小門靜脈支供应左內葉的脏面区。

第三部为矢狀部：較橫部短，最短仅0.5厘米，最长3厘米，而1—2厘米者占90%。它淺埋于靜脈鞚帶沟內，于左縱沟上易于剖离出来。从它的內側緣发出2—4支較大的支分佈于左內葉，称左內葉支。此外，从矢狀部和囊部的內側緣还經常发出数根短小的支分佈于左內葉的脏面部分。

第四部为囊部：是矢狀部末端膨大部分，从其外側发出一根較粗的支(有时是2—4支)呈扇形分佈于左外葉下段区。另外，有43个标本(40.5%)自矢狀部外側緣位于上、下段支之間发出一根大小不等的支称中間支，它分佈于左外葉上段或下段的一部区域。

(二) 門靜脈右支(图5): 門靜脈右支自門靜脈主干发出后沿肝門右切迹行走，分佈于整个右半肝。門靜脈右支比左支变化大，有26.4%(28例)的标本沒有干，这是由于右前葉門靜脈直接由主干发出，或来自左門靜脈橫部(图6)，就是有干也比左支短，1—3厘米者占95.8%，而0.5—1厘米者为4.2%。从右門靜脈干发出以下主要門靜脈支：

1. 尾狀葉右段支：起自右門靜脈干的上緣，一般有1—3支，分佈于尾狀葉右段区，但有半数标本这些血管均很小，仅供应尾狀突的血运，而尾狀葉主要由門靜脈左支供应。无右門靜脈干时，则尾狀葉右段的血管来自右后葉支。

2. 右前葉支：起自右門靜脈的前緣，分佈于右前葉区域，是一根較粗的門靜脈。它自右干发出后很快分成二組靜脈支，每組1—3支不等。一组走向前下方，分佈于右前葉的前

下区域；另一組走向后上方，分佈于右前叶的后上区域。其分支的形式一般有二种：一种是向上下分二支后再分成細支，并分佈于右前叶的后上与前下区域，此时右前叶較小，而右后叶則較大；另一种为沿水平方向向左右分开，后再分細支（图7），此时右前叶的范围要大些。

3. 右后叶支：为門靜脈右干的延續，或直接起自門靜脈主干。它分佈于右后叶。它在右前叶支起点之外侧或直接在其起点处分成二个末支，称上段支和下段支，分別分佈于右后叶上段和下段区域。上段支走行方向，一般有二种形式（图8）：一种呈“C”形，先走向右上方后弯向内上方，伸向右肝靜脈入下腔靜脈处；另一种呈“S”形，分佈于右后叶的上段区域，其中有10个标本发出一支走向右后叶上段的后上緣区，称右后上緣支，于是右后叶的上段有二支門靜脈供应（图8）。右后叶的下段支走向右下方，分佈于右后叶的下段。此外，还有46个标本（43.4%）右后叶支分成三个支，即上段支、下段支和中間支，中間支可以很小，也可以很粗。

4. 胆囊旁門靜脈支：96个标本（90.5%）有这种靜脈存在，它分佈于胆囊窩右侧緣区域。此門靜脈支起于右前叶支的基底部者共56例，其中有二例从右前叶支上发出二支靜脈；起于右后叶支者33例；有1例起于門靜脈右干，还有6例起于右前叶支和右后叶支（图9）。

我們还观察到一个标本，在它的左內叶与右前叶的前部正中裂上有四个明显的来自左內叶支和右前叶支的吻合支（图10）。

**三、肝管的分支（图11）：**左右半肝的肝管在肝門处汇合后形成总肝管，其連接点在門靜脈的深面，离肝門約0.5—3厘米之間，如将Glisson包膜剝开，肝組織向上拉开，一般容易显露出来。它的分支較門靜脈不規則得多，根据其分支情况，归纳如下：

（一）左肝管：左肝管主要是由左外叶和左內叶来的肝管汇合而成的。它位于肝門橫沟左

側左門靜脈橫部的深面，在它与右肝管連接形成总肝管前，还接受1—2支来自尾状叶的小肝管（有时只有一支較粗的肝管）。在我們标本中，属于这种类型者占86%，其干長0.2—3厘米，平均1.6厘米。另外还有14%的标本不存在左肝管，这主要是由于左半肝的肝管有变异。

1. 有左肝管型（图12）：由于左半肝各叶、段肝管的組成形式和連接处的不同，又可归纳为三类：

第一类最多見，占72%。是由左外叶上、下段来的肝管在左門靜脈矢狀部的外側深面先行汇合成左外叶肝管，然后走在左門靜脈矢狀部的深面而达其橫部的深面，再与来自左內叶的肝管連接形成左肝管（图12A1）。但有一个标本左外叶肝管是在左門靜脈角部組成后走过左門靜脈矢狀部的淺面到橫部的淺层，再与左內叶肝管連接。在这一类中我們也发现有五个变異的标本：一个标本有四根左內叶肝管（图12A2）；二个标本有二根左內叶肝管（图12A3）；一个标本右前叶肝管与左肝管連接（图12A4，图13）；还有一例右后叶肝管与左肝管連接（图12A5图，14A，B）。

第二类是左內叶肝管与左外叶下段肝管在左門靜脈矢狀部的深面先行汇合后，再与左外叶上段肝管在左門靜脈矢狀部的內側深面連接（图12B），这一类占20%。

第三类是所有三根肝管均在左門靜脈橫部的深面一个点上汇合，占8.0%（图12C，图13）。

2. 无左肝管型（图15）：这种情况比較少見，占14%，但变化比較大。有2例左內叶肝管与左外叶肝管直接与右肝管連接而成总肝管（图15A）；另一例左內叶肝管引流到右肝管去，而左外叶肝管与右肝管連接成总肝管（图15B）；还有一例左外叶上段的肝管走在左門靜脈角部深面經過左門靜脈橫部的深面进入右后叶肝管，在它汇合前一厘米处接受来自尾状叶左段的肝管，这个标本的右后叶肝管进入左

內叶肝管与左外叶下段肝管連接后的肝管，而在內叶有二根小的肝管（图15C）。

(二)右肝管：右肝管一般由二根肝管組成，即来自右后叶上段与下段肝管組成的右后叶肝管和右前叶肝管。这二根肝管常在右切迹內門靜脈右干的深面汇合。当它們汇合后，右肝管又接受1—2支来自尾状叶的小肝管，后再和左肝管汇合成总肝管。在我們标本中，右侧肝管的变異要比左侧多見，有右肝管者占76%，而无右肝管者占24%。即使有右肝管，其干也比左肝管短，为0.2—2.0厘米，平均0.8厘米。

1. 有右肝管型(图16)：根据其分支情况又可分为二組类型：

第一組是右后叶上段与下段的肝管沿着同名門靜脈支行走至右后叶門靜脈的深面，連接形成右后叶肝管，然后繞过右前叶門靜脈起点的深面，达其近端与右前叶肝管汇合。在汇合后的右肝管，即沿着右門靜脈干深面前进与左肝管連接(图16A1)。这一組最多見，占91%。在这一組标本中，我們發現有一个标本的右肝管与左肝管汇合前，除了通常接受来自尾状叶的小肝管外，还接受一根来自胆囊旁区的小肝管(图16A2)，另一例还接受一根来自左內叶的肝管(图16A3)。

第二組比較少見，仅9%，它的肝管連接方向正好与前組相反(图16B)。这一組的右后叶肝管往往走在右前叶門靜脈起点的淺面繞过，再与右前叶肝管連接。

2. 无右肝管型(图17)：有24%的标本属于这一型，其变化較复杂，归纳起来有四类情况：

第一类多見，就是右前叶肝管和右后叶肝管直接与左肝管汇合而成总肝管(图17A1)。其中有一个标本当右前叶肝管与左肝管汇合前并接受一根来自胆囊旁区的小肝管(图17A2)。第二类是右前叶肝管在門靜脈右干的深面直接进入左肝管(图17B及图13)，仅发现一例。

第三类是右后叶肝管直接进入左內叶肝管

与左外叶下段肝管所組成的肝管，在它連接前收集了左外叶上段肝管与来自尾状叶右段的肝管(图17C)，这一种也只有一例。

第四类也只有一例，即右后叶肝管在右門靜脈干的后面繞到左門靜脈橫部的淺面进入左肝管(图17D及图14A,B)。

(三)尾状叶的肝管：尾状叶左、右段的肝管分別引流到左、右肝管者占70.6%，而主要引流到左肝管者占17.6%(图11)，也有11.8%的标本主要是引流到右肝管去的。

四、肝動脈的分支(图18)：肝固有動脈位于胆總管的內側，門靜脈的前方。当它还没有进入肝門前，即分成左、右二支，其在肝內分支情况与走行方向基本上与門靜脈和肝管相一致，但要比后者不規則得多。在肝門區肝動脈走在最淺层时，手术时极易找到。根据临床应用方便起見，大致归纳如下：

(一)左肝動脈：左肝動脈自肝固有動脈分出后沿着左門靜脈橫部及左肝管的淺面走。但有一个标本的左肝動脈是沿着左門靜脈橫部的深面走。根据其分支又可分为有干与无干二型：

1. 有左肝動脈干型(图19)：共7个标本，其中有5个标本的左肝動脈在左門靜脈矢狀部內側分成二支，一支叫左內叶動脈沿左內葉門靜脈走，分佈于左內叶区域；另一支叫左外叶動脈，走向左門靜脈矢狀部的深面达到其外側緣时又分为二支：即左外叶上段支与下段支，分佈于相应肝段区(图19A)。另一例的左內叶動脈有二支：一支来自右肝動脈，另一支来自左外叶上段動脈(图19B)。还有一例左肝動脈先分出左外叶上段支，后再分成左內叶動脈和左外叶下段支(图19C)。

2. 无左肝動脈干型(图20)：共二例。一例的肝固有動脈立即分出左內叶動脈、左外叶動脈和右肝動脈，而左內叶動脈又很快分成二支供应左內叶区，左外叶動脈則走在左門靜脈橫部的淺面至左門靜脈角部时分成左外叶上段支与下段支(图20A)；另一例的肝固有動脈

分出右肝動脈和左內葉動脈，後者沿左內葉門靜脈走，分佈於左內葉區，而左外葉沒有動脈支充滿，可能是由副肝動脈供應（圖20B）。

還有一個標本的肝固有動脈只分出右前葉動脈和右後葉動脈，而左半肝完全不充滿，這可能是左半肝完全由副肝動脈供應（圖21）。

（二）右肝動脈：右肝動脈從肝固有動脈分出後，很快發出一支膽囊動脈（有一個標本的膽囊動脈起自肝固有動脈，圖20B），然後它走在總肝管後面（有個別標本走在總肝管前面），繞到右門靜脈和右肝管的淺面，根據其分支情況可分為有干與無干二型：

1. 有右肝動脈干型（圖22）：共8例，但這些干均很短，當它繞過總肝管的後面（或前面）後，在右前葉的靜脈起點的近端很快分成右前葉動脈和右後葉動脈，前者沿右前葉門靜脈走，分佈於右前葉區域；後者則繞到右後葉門靜脈的淺面，分成右後葉上段支與下段支，供應相應名稱的肝段內（圖22A）。本型中有一例的右肝動脈先發出一支右後葉下段支，而后再分成右後葉上段支和右前葉支（圖22B）。

2. 無右肝動脈干型（圖23）：共二例，其中有一例的肝固有動脈分出右前葉動脈與右後葉動脈，而無左肝動脈，這是因有副動脈之故（圖23A）。右前葉動脈走在右肝管的後面經過，位於右前葉肝管和右前葉門靜脈之間，分佈於右前葉區域內，而右後葉動脈則沿着右門靜脈干和右後葉門靜脈的淺面走過，後再分成右後葉上段支與下段支，其干長約4.5厘米，全部埋在右切迹內（圖21）。另一例從肝固有動脈即分出三支，即右前葉動脈、右後葉動脈和左肝動脈。前者發出二支分別到左內葉和膽囊旁區去（圖23B）。這一例左內葉有二支動脈供應，另一支來自左外葉上段動脈。

（三）尾狀葉動脈：絕大部分標本的尾狀葉動脈來自左、右肝動脈，但也有個別標本來自右前葉動脈和左外葉動脈。一般來自左肝動脈的要粗些。有一個由副肝動脈供應的標本，其尾狀葉全部由右前葉動脈發出一根較粗的動脈支

供應。

五、肝靜脈：肝靜脈位於肝內靠肝脏的膈面側，而短肝靜脈則靠近肝脏的脏面側，它們的行徑與門靜脈、肝動脈和肝管相交叉（圖24）。肝靜脈回流入下腔靜脈的結構形式：左、中、右肝靜脈分別進入下腔靜脈者占47.2%，左肝靜脈與中肝靜脈合干後進入下腔靜脈者占44.4%，同時有四個開口于下腔靜脈者占8.4%，其中一個開口是左后上緣支。

（一）左肝靜脈（圖25）：左肝靜脈接受全部左外葉回血後于下腔靜脈左壁入口（占58.3%），但也有進入其左前壁的（占41.7%）。若與中肝靜脈合干者多進入下腔靜脈左前壁。左肝靜脈沿途接受3—4支小靜脈：（1）左葉間靜脈：走在左葉間裂內，接受部分左內葉和左外葉下段的回血。（2）左段間靜脈：走在左段間裂內，接受左外葉上、下段的部分回血。（3）左后上緣靜脈：接受左外葉上段的回血，在快進入下腔靜脈處匯入左肝靜脈，但有時此靜脈可直接開口于下腔靜脈左壁。（4）有的標本在快進入下腔靜脈處，還接受一支來自左內葉的小靜脈。

（二）中肝靜脈：走在正中裂內，接受左內葉與右前葉的全部回血。它開口于下腔靜脈左前壁者占50%，于其前壁者占47.2%，極個別的是在其左壁開口。中肝靜脈常以二個大支合成一個干，一隻來自左內葉；另一隻來自右前葉。一般後者要大些，有時該支可很粗大，呈弧形彎曲，起於肝脏的右外下緣，並接受右後葉下段的部分回血，此時右前葉也顯得大些（圖26A,B）。中肝靜脈除了接受上述二個大支外，在它快進入下腔靜脈處，還接受2—3支來自左內葉和右前葉的後上區域的回血；有一個標本還接受一隻來自左外葉的小靜脈。

（三）右肝靜脈：走在右葉間裂內，是肝靜脈中最大的一隻，但也有少數顯得小些，此時中肝靜脈就較粗大（圖24—26）。它主要接受右後葉的回血，但也接受右前葉的部分回血。在它快進入下腔靜脈前，還常常接受一隻來自

叶后上緣区的右后上緣靜脈。右肝靜脈在下腔靜脈的前壁开口者55.5%，而在其右壁开口者占44.5%。其开口部位低于左肝靜脈者为72.2%，高于左肝靜脈者占25%，与其等高位置者为2.8%。

(四)短肝靜脈：一般有4—8支，最少有3支。主要引流尾状叶和右后叶脏面区的回血。这些靜脈比較短小，易撕破，造成手術中大出血。短肝靜脈可分二組：第一組开口于下腔靜脈左前壁，主要引流尾状叶的回血，均比較短小，但有时也可看到較大的支。第二組开口于下腔靜脈右前壁，主要引流右后叶脏面的回血。这一組中有77.8%的标本有1—3支比較粗大的靜脈，其口徑可达0.4—0.5厘米。我們称之为右后側肝靜脈(图27)。它紧貼于脏面的浅表，开口于下腔靜脈远側端的右前壁。作右半肝切除时，必須将其結紮切斷，否則，撕破时可引起致命的出血。

我們还觀察到三个标本的肝靜脈之間有吻合支，二个在左肝靜脈的段間支与后上緣支之間有吻合支(图28)，其中一个标本的后上緣支是单独开口于下腔靜脈，左肝靜脈与中肝靜脈合干入腔靜脈；另一个是中肝靜脈与右肝靜脈之間的吻合支，中肝靜脈与左肝靜脈也有吻合支。

## 討 論

一、肝內管道的分佈是比較錯綜复杂，變異也很多，但根据我們108个肝脏腐蝕标本的觀察，肝內管道的分佈有其一定的規律。一般門靜脈与肝靜脈的分支比較恆定，而肝動脈与肝管的分支变化較多，但它們都是攀附門靜脈走的。因此，肝脏的分叶分段应以門靜脈及肝靜脈的分支为主要依据，再适当参考肝動脈及肝管的分佈。根据我們觀察結果，肝脏可分五叶六段(图4)，至于左內叶和右前叶是难以再分段<sup>(1)</sup>。此外，尾状叶由于体积小，虽然在解剖上可分为左、右段，但从临床的实际应用來說，意义不大。因此，結合临床需要，最好

将肝脏分成五叶四段。

二、叶与叶之間是否有血管吻合支，各家意义不一致<sup>(1-8)</sup>。临床經驗告訴我們，在作半肝切除結紮肝門血管后，有許多病例的表面并不出現明显分界綫，而是逐步过渡到正常組織，因此，在切肝时出血仍多，这可能与肝內存在有多少吻合支有关。根据我們标本的觀察，門靜脈和肝靜脈在某些标本是有吻合支的。至于肝動脈，虽然我們沒有发现吻合支(这可能与肝動脈細，塑料注射时沒有注射到有关)，但据Gans<sup>(2)</sup>及Schorn<sup>(8)</sup>等的報告，左、右肝動脈在肝內均已証实有吻合支。我們同意Healey<sup>(9)</sup>的意見，肝管是沒有吻合支。肝內血管吻合支的存在提示我們在作規則性肝叶切除时，虽然結紮了肝門处的血管，但在切肝时，仍須在肝內将血管逐个結紮，这样才能避免肝切面过多出血。

三、肝裂在肝表面的標誌是規則性肝叶切除的重要問題。一般左叶間裂是以镰状韧帶和左縱沟为標誌，但略偏左侧，是肝裂中最容易辨認的。它将左門靜脈支的矢狀部和囊部划分为二半，靠內側是左內叶門靜脈支起点处，靠外側是左外叶門靜脈支起点处，在裂內有左肝靜脈的叶間支經過。因此，作左外叶或右三叶切除时都應該注意这些血管。

正中裂以胆囊窩和下腔靜脈的連綫為標誌，在裂內有中肝靜脈經過，因此，在作半肝切除时，肝的切面要在正中裂偏向患側的一边，同时只能将中肝靜脈的患側屬支結紮。正中裂的后側以下腔靜脈为界，在下腔靜脈左前壁与右前壁均有許多短肝靜脈，这些靜脈短細，壁薄，易撕破，在手術中應特別注意。

右叶間裂在肝表面的標誌不明显，手術时定位是比较困难。如果肝的右下緣有一切迹时，可作为該裂的標誌<sup>(1)</sup>。此外，在肝門右切迹向右下方延长的平面也可作为一假想標誌<sup>(1)</sup>，但最好的定位方法是在右切迹內将右后叶的血管和肝管予以結紮，再觀察肝表面的顏色改变，在顏色改变的分界綫处即为右叶間裂所在部位。

四、肝門部位包括从右切迹到左縱沟範圍內是肝內血管起始和肝管匯合的部位，往往也是肝內管道變異的起點處，因此，這個部位對肝脏手術有著重要意義。一般以肝動脈和肝管變異最大，它們主要變異是左右互相交錯或有干或無干。它們的變異位置，右側多在右前葉門靜脈起點前后，而左側則多在左門靜脈橫部周圍及左門靜脈矢狀部的內外前后處。門靜脈的變異主要是右前葉支的起點可以發自門靜脈主干或門靜脈左干。因此，解剖肝門時必須細心。一般剖開肝十二指腸韌帶，輕輕推開肝組織，順着右切迹或橫沟到左縱沟切開 Glisson 包膜，即可找到這些管道。

肝靜脈在肝外部分極短，且壁薄易破，同時左、中肝靜脈又有合干存在（44.4%），因此，在肝外處理肝靜脈是比較困難。根據標本的觀察及臨床經驗，我們認為沿肝裂切開肝組織，在肝內結紮肝靜脈是比較安全的。

### 參考文獻

1. 第二軍醫大學肝病研究小組：我國正常人肝內解剖的觀察，中華外科雜誌 10(2):97, 1962。
2. 方之揚等譯：肝脏外科入門，上海衛生出版社，1958。
3. 黃華庭：肝脏的外科解剖，北醫學報，1:125, 1959。
4. 姚家慶：肝脏的分葉與分段的解剖學，安徽醫學院學報 3(1):33, 1960。
5. 貴陽醫學院人體解剖教研組：肝分葉的初步觀察，貴陽醫學院學報 1:66, 1960。
6. Elias, H. et al., Gross anatomy of the blood vessels and ducts within human liver, Am. J. Anat. 90:59, 1952.
7. Goldsmith, N. A., et al., The surgical anatomy pertaining to liver resection, Surg. Gynec. Obst. 105:310, 1957.
8. J. Schorn, H. St. Stender und H. Voget., Untersuchungen über die arterielle Strombahn der Leber, Langenbeck's Arch. U. Dtsch. Z. Chir. 286:187, 1957.
9. Healey, G. E. R., Schroy P. C., Anatomy of the biliary ducts within the human liver, Arch. Surg. 6:5969, 1953.

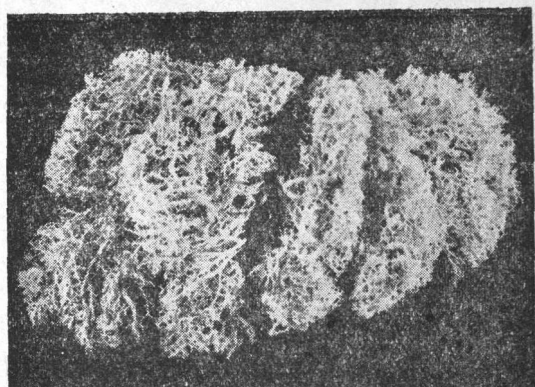


圖 1 肝臟腐蝕標本的肝裂（膈面觀）

1. 左段間裂
2. 右葉間裂
3. 正中裂
4. 右葉間裂
5. 右段間裂

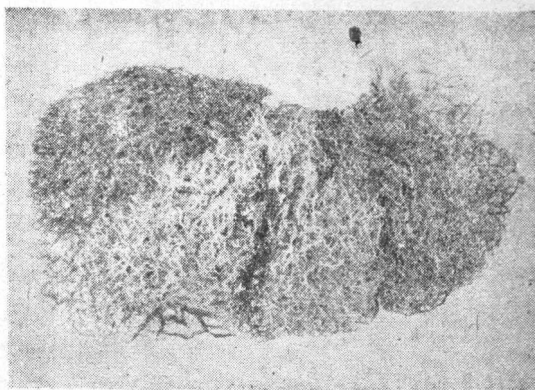


圖 2 肝臟腐蝕標本（膈面觀）

1. 左葉間裂
2. 正中裂（呈直線形）
3. 右葉間裂（呈直線形）

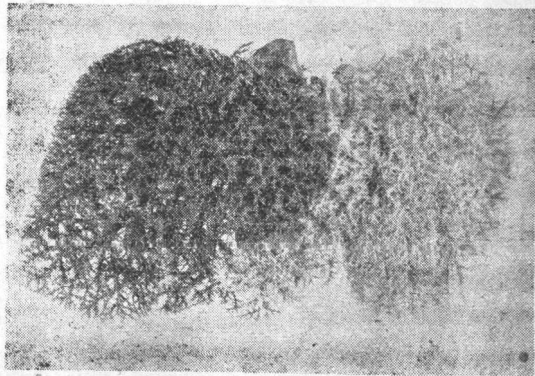


圖 3 肝臟腐蝕標本（膈面觀）正中  
裂呈一曲線形

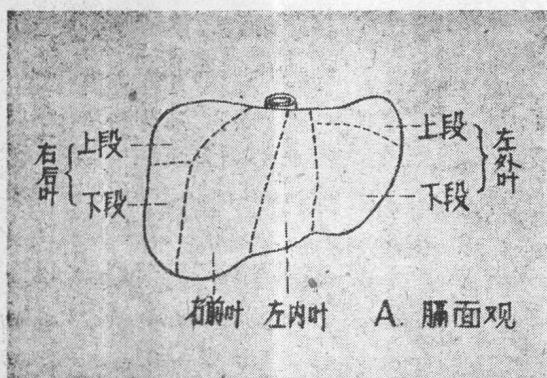


图 4 A 肝脏叶段的划分

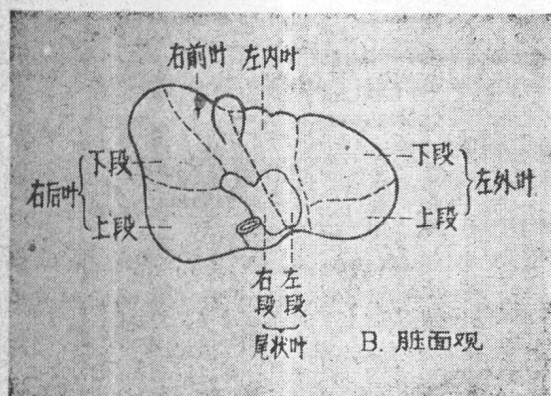
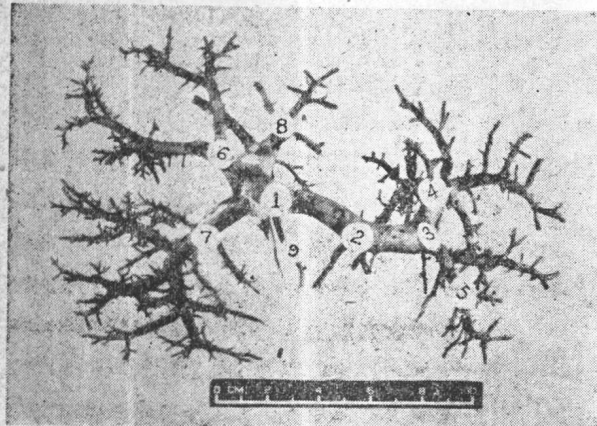
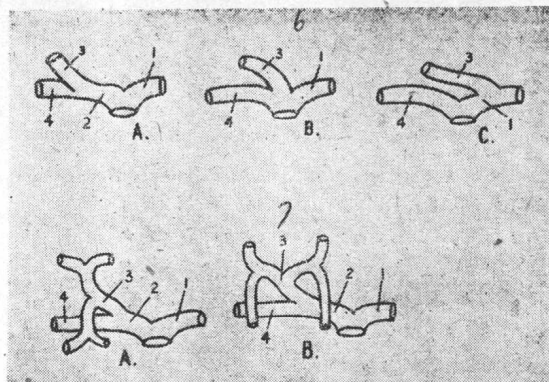


图 4 B 肝脏叶段的划分

图 5 肝脏腐蚀标本的門靜脈分支  
(脏面觀)

- 1. 門靜脈
- 2. 左門靜脈橫部
- 3. 角部
- 4. 左外葉下段支
- 5. 左外葉上段支
- 6. 右後葉下段支
- 7. 右後葉上段支
- 8. 9. 右前葉支

图 6 (上) 右前叶門靜脈支的起点类型  
(膈面觀)

- A. 起自門靜脈右干  
B. 起自門靜脈總干  
C. 起自門靜脈左干  
1. 門靜脈左支 2. 門靜脈右支  
3. 右前葉支 4. 右後葉支

图 7 (下) 右前叶門靜脈支的类型

- A. 先分出上下支 B. 先分出左右支  
(1.2.3.4. 同图 6 )

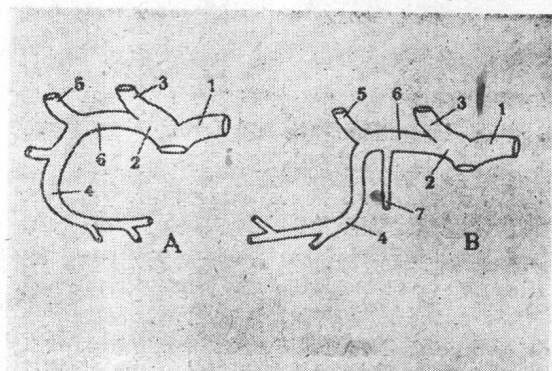


图 8 右后叶門靜脈支的类型 (脏面觀)

- A. 呈“C”形走向  
B. 呈“S”形走向  
1. 門靜脈左支 2. 門靜脈右支  
3. 右前葉支 4. 右後葉上段支  
5. 右後葉下段支 6. 右後葉支  
7. 右後葉上緣支

吳孟超等：正常人肝內解剖的觀察

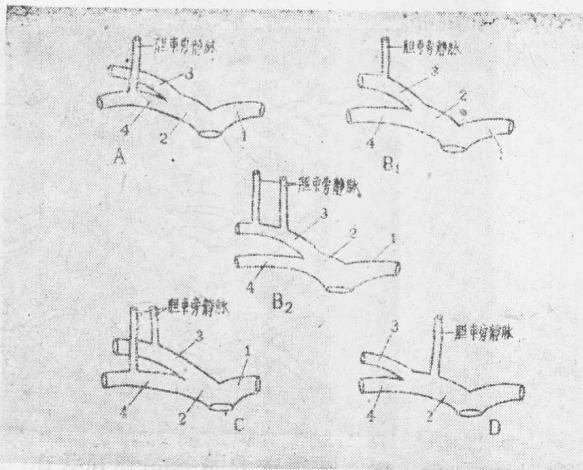


图 9 胆囊旁門靜脈支起点的变異

1. 門靜脈左支 2. 門靜脈右支  
3. 右前叶支 4. 右后叶支



图 10 肝脏腐蚀标本(脏面观), 正中裂前部存在的左右門靜脈吻合支(为便于观察, 已剪去吻合支附近小分支)

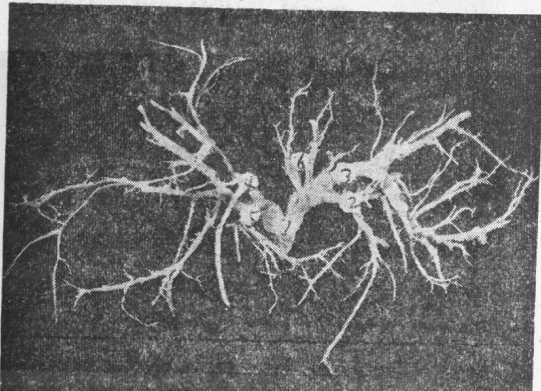


图 11 肝脏腐蚀标本的肝管分支(膈面观)

1. 总肝管 2. 左内叶肝管  
3. 左外叶肝管 4. 右前叶肝管  
5. 右后叶肝管 6. 尾状叶肝管

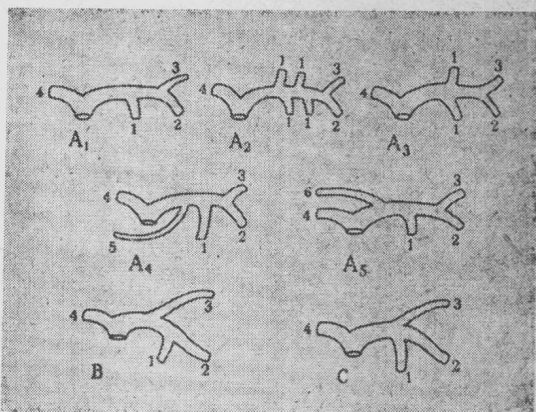


图 12 有左肝管的各种分支类型  
(膈面观)

1. 左内叶肝管 2. 左外叶下段肝管  
3. 左外叶上段肝管 4. 右肝管  
5. 右前叶肝管 6. 右后叶肝管

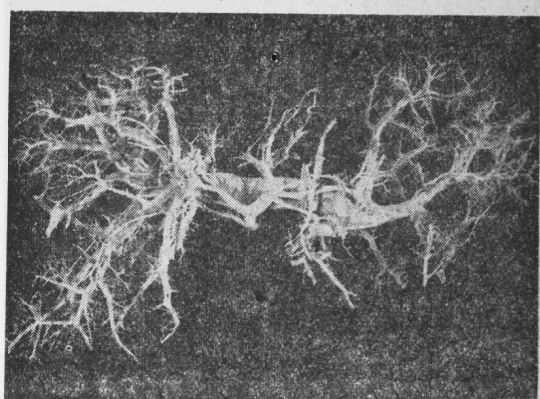


图 13 肝脏腐蚀标本(膈面观)  
右前叶肝管进入左肝管, 左半肝的三根肝管在一点汇集

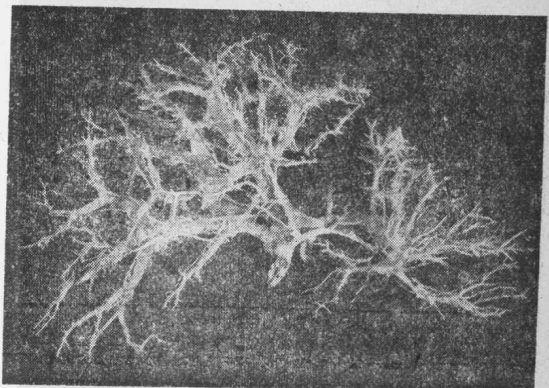


图 14A 肝脏腐蚀标本(膈面观), 右前叶  
肝管与左肝管连接成总肝管, 而  
左后叶肝管进入左肝管

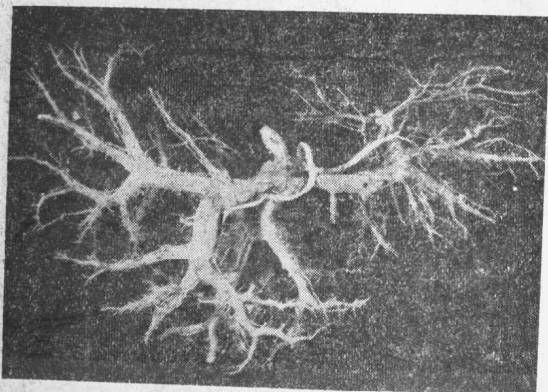
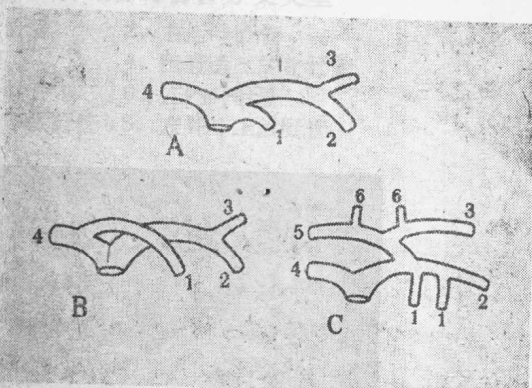
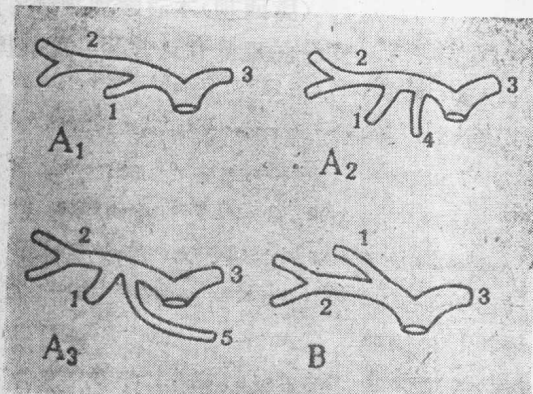


图 14B 与 14 A 图同一标本 (脏面观)

图 15 无左肝管的各种分支类型  
(膈面观)

1.2.3.4. 同图 12; 5. 右后叶肝管,  
6. 尾状叶肝管

图 16 有右肝管的各种分支类型  
(膈面观)

1. 右前叶肝管
2. 右后叶肝管
3. 左肝管
4. 胆囊旁区的小肝管
5. 左内叶肝管

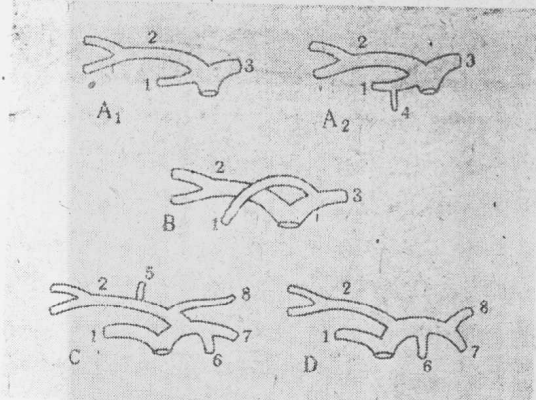
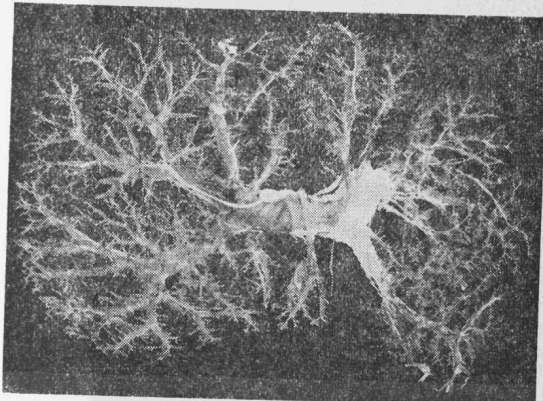
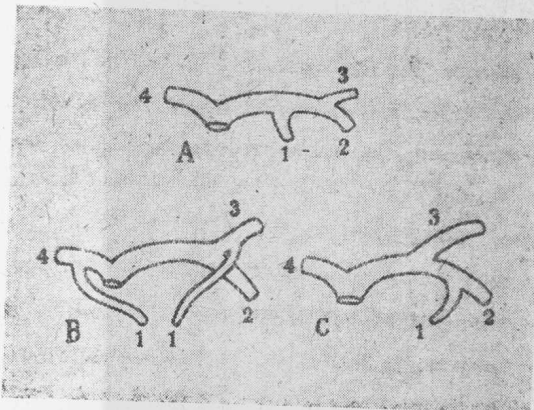


图 17 无右肝管的各种分支类型

- |            |             |
|------------|-------------|
| 1. 右前叶肝管   | 2. 右后叶肝管    |
| 3. 左肝管     | 4. 胆囊旁区的小肝管 |
| 5. 尾状叶肝管   | 6. 左内叶肝管    |
| 7. 左外叶下段肝管 | 8. 左外叶上段肝管  |

图 18 肝脏腐蚀标本(脏面观)  
門靜脈、肝管及肝動脈的分支图 19 有左肝动脉干的分支类型(膈面观)  
1. 左内叶动脉 2. 左外叶下段支  
3. 左外叶上段支 4. 右肝动脉

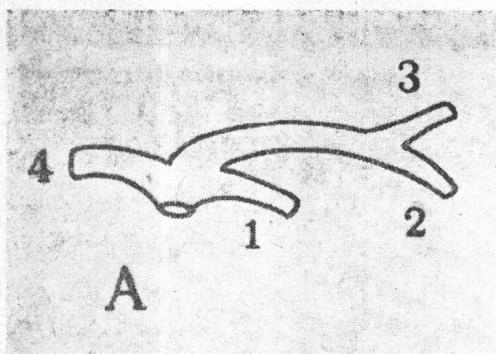


图 20A 无左肝动脉干的分支类型  
(膈面观) (說明同图19)

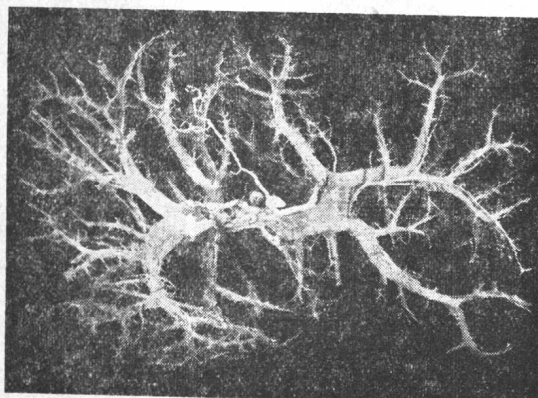


图 20B 肝脏腐蚀标本(脏面观), 左外无动脉支充盈, 可能是副肝动脉供应, 胆囊动脉发自肝固有动脉

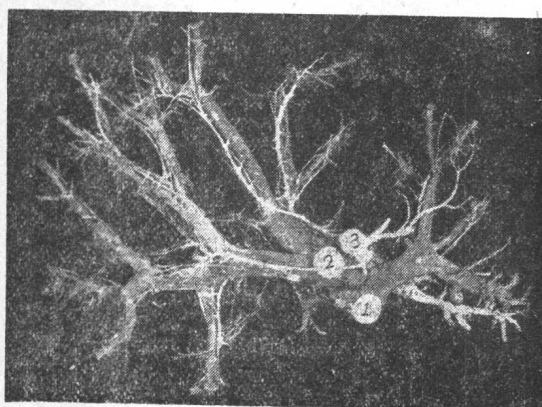


图 21 肝脏腐蚀标本(脏面观), 左半肝的  
肝动脉未充满, 系副肝动脉供应

1. 門靜脈
2. 右后叶肝动脉
3. 肝管

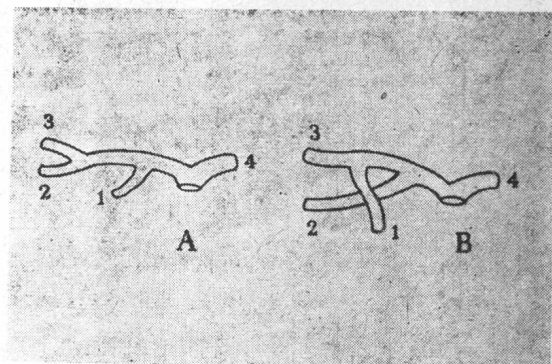


图 22 有右肝动脉干的分支类型  
(膈面观)

1. 右前叶动脉
2. 右后叶下段支
3. 右后叶上段支
4. 左肝动脉

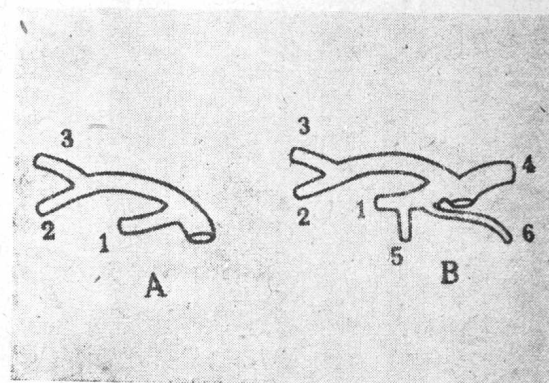


图 23 无右肝动脉干的分支类型  
(膈面观)

1. 右前叶动脉
2. 右后叶下段支
3. 右后叶上段支
4. 左肝动脉
5. 胆囊旁区小动脉
6. 左内叶动脉

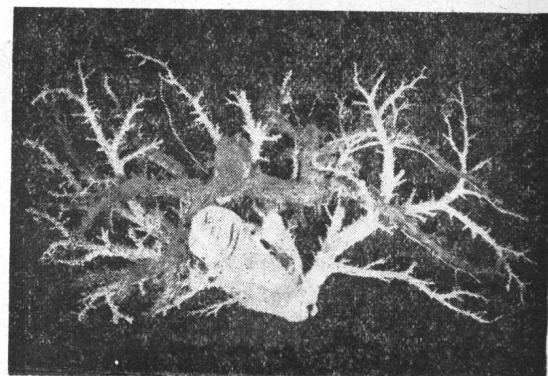


图 24 肝脏腐蚀标本(脏面观) 門  
靜脈、胆管及肝靜脈的分支



图 25 肝脏腐蚀标本肝靜脈的分支  
(膈面觀), 左肝靜脈, 中肝靜脈, 右肝靜脈

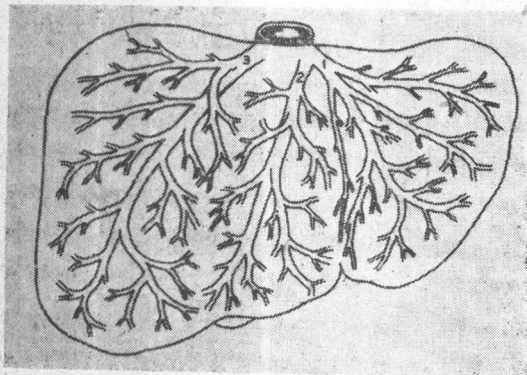


图 26A 肝靜脈分支 (膈面觀)

1. 左肝靜脈
2. 中肝靜脈
3. 右肝靜脈

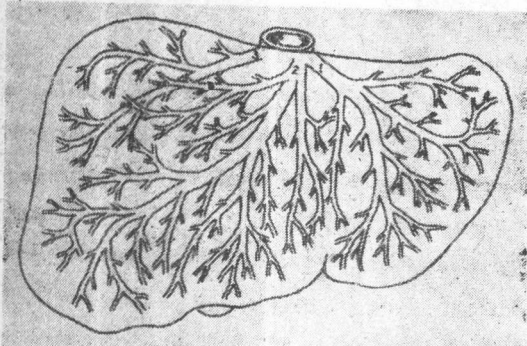


图 26B 肝靜脈分支圖(膈面觀)

1. 左肝靜脈
2. 中肝靜脈
3. 右肝靜脈

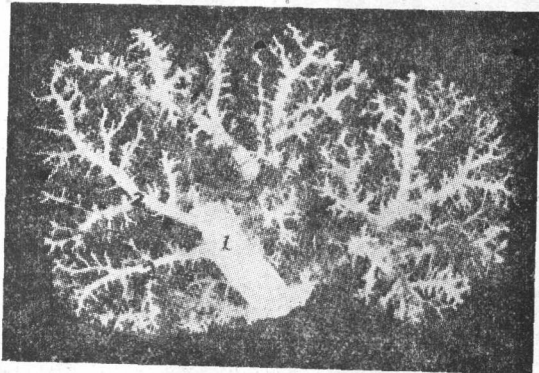


图 27 肝脏腐蚀标本 (脏面觀)  
1. 下腔靜脈 2. 右后側肝靜脈

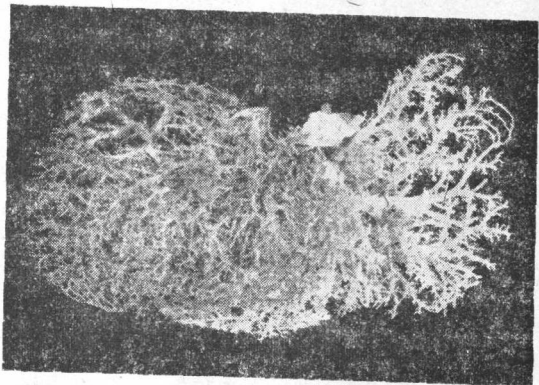


图 28 肝脏腐蚀标本 (膈面觀)  
肝靜脈的吻合支(左外叶处)

# 肝叶切除术代谢改变的 动物实验与临床观察

吴孟超\* 张晓华\* 胡宏楷\* 乔志敏\*\* 徐化民\*

肝叶切除术后在代谢上发生那些改变，在术后短期内如何尽快地使患者维持正常或接受正常的代谢平衡，以便使肝脏迅速再生和肝功能很快恢复，是肝脏手术的重要问题。为此，我们对肝脏手术后的代谢改变进行了动物实验研究与临床资料分析，拟通过这个工作，达到了解肝手术后代谢改变的规律，从而找到提高疗效的措施。

## 动物实验部分

(一) 实验方法：用杂种犬 6 只，体重 9—14 公斤，在气管内插管乙醚麻醉下作胸腹联合切口，进入腹腔后于腹主动脉抽血送各项检查，然后按规则性肝叶切除术切除 70—80% 肝组织(切除量按 Hardenbergh<sup>(1)</sup> 算法计算，即犬肝重量为其体重的 3.4%)，术中输 5% 葡萄糖生理盐水 500 毫升，术后注射青霉素 40 万单位。手术后第 1, 3, 5, 7, 14 和 21 天分别自股动脉抽血送各项检查，并观察犬的食慾、神态及活动能力等。

## (二) 实验结果：

1. 一般情况观察：术后无死亡或并发症。全组犬于术后 24—48 小时内有暂时的食欲减退、神态萎靡和不活动等，但以后即逐渐恢复正常。

2. 代谢改变：6 只犬术前各项检查均在正常范围内，术后均有明显改变，大部分在术后 5—7 天后即开始恢复，术后 21 天多已基

本恢复至正常水平。

(1) 肝功能改变：术后胆红素、脱氧胆酸絮状试验和麝香草酚浊度试验没有明显改变。但总蛋白、白蛋白和球蛋白的改变比较明显(图 1)。总蛋白和白蛋白在术后第一天明

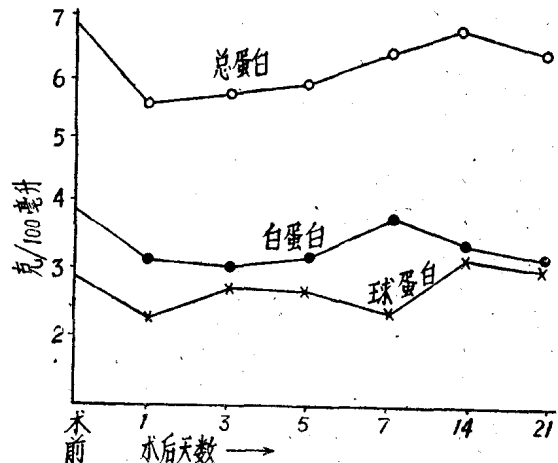


图 1 犬肝叶切除后总蛋白、白蛋白及球蛋白的改变

显下降(总蛋白从术前 6.9 克 % 降至 5.53 克 %，白蛋白从术前 3.96 克 % 降至 3.16 克 %)，至术后第五天才缓慢上升，术后 21 天还没有完全达到术前水平。球蛋白除在术后第一天略有降低(从术前 2.94 克 % 降至 2.73 克 %)外，以后即逐渐上升，术后 14 天已超过术前的平均值(3.03 克 %)。

碱性磷酸酶在术后第一天即有明显增加(从术前 4.02K-A 单位增至 8.16K-A 单位)，术后七天达到高峰(18.6K-A 单位)，约为术前的 4.5 倍，以后虽有下降，但仍持续在较高

\* 第二军医大学第一附属医院外科

\*\* 第二军医大学第一附属医院中心生化实验室

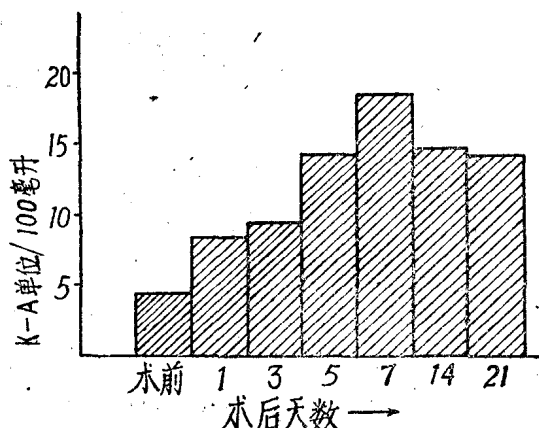


图 2 犬肝叶切除后碱性磷酸酶的改变

水平(图 2)。SGP-T 自术后第一天起即有明显增高,至术后 14 天虽有下降,但仍保持在较高水平(表 1)。

胆固醇和胆醇脂在术后五天降到最低水平

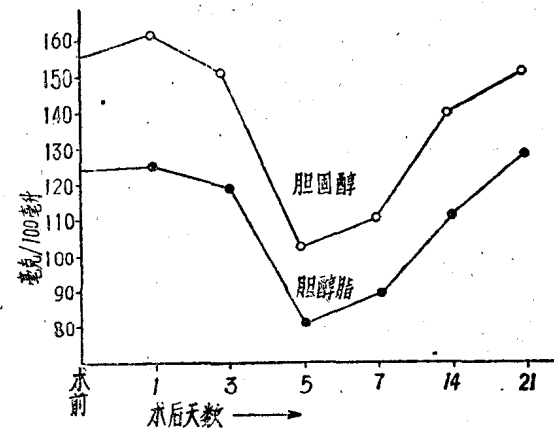


图 3 犬肝叶切除后胆固醇和胆醇脂的改变

(胆固醇从术前 155.5 毫克% 降至 101.9 毫克%),但第七天起又开始回升,到术后 21 天已达到术前水平(图 3)。

表 1 犬肝叶切除后 SGP-T 蛋白电泳、脂蛋白电泳、血红蛋白及红细胞的改变

项目名称	单位	术前	术后天数						
			1	3	5	7	14	21	
SGP-T	单位	41.6	185	226	222	225	155	183	
血红蛋白	克/分升	13.6	11.7	11.6	10.6	10.9	10.9	11.1	
红细胞	万/mm <sup>3</sup>	421	271	368	338	345	345	346	
蛋白电泳	A α <sub>1</sub> α <sub>2</sub> β γ	% % % % %	36.53 7.21 15.17 24.85 16.33	41.1 6.1 10.3 21.4 18.5	35.8 6.2 11.9 22.7 23.4	32.3 5.6 15.8 24.0 23.8	32.2 5.2 10.8 25.2 22.2	25.7 8.2 13.1 23.4 29.3	24.2 6.2 12.2 23.3 38.1
脂蛋白电泳	α β	% %	52.5 47.5	47.5 52.5	50.6 49.4	49.4 50.6	52.0 48.0	40.9 59.1	45.1 54.9

(2) 血清蛋白电泳(表 1): 白蛋白百分比在术后第一天略有升高,以后即逐渐下降,至术后 21 天约为术前平均值的 3%。 $\alpha_1$  和  $\alpha_2$  球蛋白百分比在术后略有下降,第 14 天起逐渐回升。 $\beta$  球蛋白变化不大。 $\gamma$  球蛋白百分比术后即逐渐增加,到 21 天约增加一倍以上。

$\alpha$  脂蛋白术后略有减低,而  $\beta$  脂蛋白则相对增加。

(3) 血糖: 术后有明显下降,到术后第五天平均值较术前下降 35.5% (从术前 137.5 毫克% 降至 88.7 毫克%),随后即逐渐上升(图 4)。

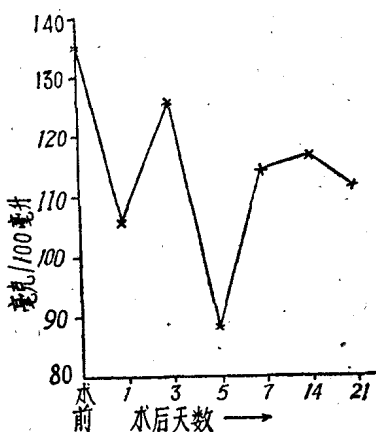


图 4 犬肝叶切除后血糖的改变

(4) 其它：术后红细胞和血红蛋白均有明显下降，至术后 21 天尚未恢复到术前水平（表 1）。非蛋白氮和脲氮在术后无明显改变。

### 临床部份

我院自 1960 年 2 月至 1963 年 2 月共施行肝脏手术 35 例，其中规则性肝叶切除且资料比较完整的共 31 例。31 例中恶性病变 18 例，良性病变 13 例（表 2）；切除半肝以上者 18 例，半肝内者 13 例；合併有不同程度的肝硬化者 11 例（表 3），其中 4 例比较严重；发生术后并发症者 12 例，其中 8 例属于

表 2 31 例的病变性质与切除的关系

切 除 量	恶 性 病 变		良 性 病 变						共 计
	原发性肝癌	继发性肝癌	肝脓肿	肝囊肿	海绵状血管瘤	肝树胶肿	肝管结石	肝外伤	
右 三 叶	2				1				3
右 半 肝	8		1			1			10
左 半 肝	4				1				5
右 后 叶					1				2
左 外 側 叶	2	2	3	1			2	1	11
共 計	16	2	4	1	3	1	2	2	31

右半肝或右三叶切除。

表 3 11例合併有肝硬化的診斷与切除量的关系

診 斷	切 除 量		
	右三叶	右半肝	左外叶
原发性肝癌	1	5*	1
慢性肝脓肿		1	2
肝树胶肿		1	

\* 有 2 例子术后 2 周内死于肝昏迷

**一、术前病人情况的估价：**本组病人术前情况基本良好，无黄疸和腹水，心、肺、大小便检查均属正常，但有 13 例血红蛋白在 12 克以下，最低 7.5 克，平均 9.9 克；红细胞在 370 万以下者有 14 例 (45%)，最低仅 220 万，平均 302 万；出血时间、凝血时间、凝血酶元时

间和血清胆红素均在正常范围内。

麝香草酚浊度试验、脱氧胆酸絮状试验和硫酸铜浊度试验有改变者分别有 6 例 (19.3%)、4 例 (13%) 及 8 例 (25.8%)，前者最高达 13 单位，而后者最高为 24.2 单位。全部病例的血清蛋白总量在 6.0—8.1 克% 之间，平均为 7.13 克%，仅 5 例在 6.5 克% 以下。白蛋白多在 4.0 克% 以上，只有 3 例在 4.0 克% 以下，最低者为 3.3 克%。球蛋白高于 3.0 克% 者有 4 例。白蛋白与球蛋白比率无倒置现象，但比值小于 1 者有 6 例 (19.3%)。有半数病人的胆固醇低于 150 毫克%，最低者为 94 毫克%；胆醇脂均在 80 毫克% 以上，平均 105 毫克%。碱性磷酸酶偏高者 10 例 (32%)，最高达 32 K-A 单位。SGP-T 增高 (54—170 单位) 者 10 例 (32%)，其中有 6 例肝癌患者，2 例为炎性